

## ЛИТЕРАТУРА

- Кутателадзе С. С. Гидродинамическая теория изменения режима кипения жидкости при свободной конвекции. Изв. АН СССР, ОТН, 1951, № 4.
- Van Wijk W. R., Vos A. S., Van Stralen S. J. D. Heat transfer to boiling liquid mixtures. Chem. Eng. Sci., 1956, vol. 5.
- Van Stralen S. J. D. Heat transfer to boiling binary liquid mixtures. British chemical Engineering, January, 1959.
- Bonilla C. F. and Pegg C. W. Heat transfer to boiling liquid mixtures. Trans. Amer. Inst. Chem. Eng., 1951, vol. 37.
- Фастовский В. Г., Артым Р. И. Экспериментальное исследование критической тепловой нагрузки при кипении бинарных смесей. Теплоэнергетика, 1958, № 8.
- Кутателадзе С. С. и Борицанский В. М. Справочник по теплопередаче, Госэнергоиздат, 1959.

## ОПРЕДЕЛЕНИЕ КОЭФФИЦИЕНТА ТЕПЛООТДАЧИ К КИПЯЩЕЙ ЖИДКОСТИ ПРИ НЕПРЕРЫВНОМ ИЗМЕНЕНИИ ТЕПЛОВОГО ПОТОКА

B. B. Гусев, A. I. Приданцев, A. N. Соловьев

(Москва)

Определение коэффициента теплоотдачи к кипящей жидкости обычно связано с рядом трудностей, которые обусловлены, отчасти, большой неточностью в определении температуры теплоотдающей поверхности. Последнее особенно существенно при исследовании кипения расплавленных металлов. В этом случае становится значительной поправка на «глубину заделки», которая складывается из перепада температур в стенке и разницы температур, обусловленной деформацией температурного поля в связи с наличием в стенке датчика температуры с его изоляцией и т. п. Если первую часть поправки легко вычислили при известном расстоянии спая термопары от теплоотдающей поверхности и известном коэффициенте теплопроводности материала стенки, то в реальных случаях вычисление второй части поправки практически возможно с точностью лишь до одного порядка. Заметим, что первая часть поправки не может быть вычислена с погрешностью менее 20–30%, так как при исследованиях в области высоких температур приходится применять термопары со спаем величиной от 0.3 до 0.6 мм, и только с такой же точностью можно определить глубину заделки. На фиг. 1 приведены для иллюстрации кривые поправки на глубину заделки для теплоотдающей поверхности из нержавеющей стали ( $\lambda = 14 \text{ ккал}/\text{м} \cdot \text{час}^{\circ}\text{C}$ ,  $\delta = 1 \text{ мм}$ ) в зависимости от теплового потока. На этой фигуре приведена кривая рабочей разности температур. Как видно, эти величины становятся одинаковыми уже при потоке  $q \approx 10^5 \text{ ккал}/\text{м}^2 \cdot \text{час}$ .

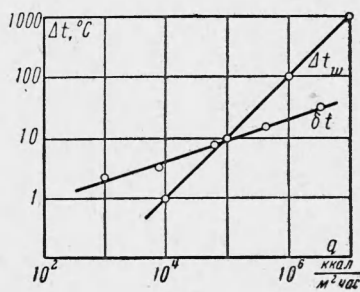
В предлагаемой работе сделана попытка показать возможность определения коэффициента теплоотдачи при кипении в большом объеме при непрерывном линейном нарастании или (уменьшении) теплового потока. При этом время проведения опыта сокращается в несколько раз, что позволяет проводить исследования в сильно корrodирующих жидкостях и при высоких температурах. Последнее дает возможность применять материалы с большой теплопроводностью и тем самым резко уменьшать поправку на глубину заделки, которая может быть надежнее определена.

**1. Описание метода.** Как показано многочисленными исследователями [1] в зоне пузырькового кипения для коэффициента теплоотдачи справедлива степенная зависимость

$$\alpha = Cq^n \quad (1.1)$$

Рабочая разность температур будет равна

$$t_w - t_f = \frac{q}{\alpha} = \frac{1}{C} q^{1-n}$$



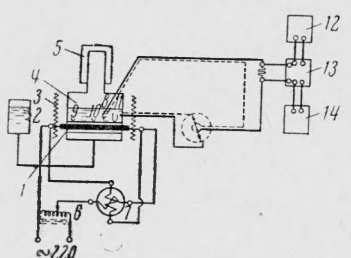
Фиг. 1

Так как температура стенки ( $t_w$ ) измеряется не на поверхности, а на некотором расстоянии  $\delta$  от нее ( $t_{w1}$ ), то вводится поправка; тогда

$$t_{w1} - t_f = \Delta t_{w1} = \frac{1}{C} q^{1-n} + \frac{\delta}{\lambda} q$$

или

$$\Delta t_{w1} = K_1 q^m + K_2 q = \Phi(q) \quad (1.2)$$



Фиг. 2

Для простоты записана поправка только на глубину заделки (и для плоской стенки). Однако поправка на искажение поля температуры за счет изоляционных вкладышей термопар, как показано в [2], также пропорциональна тепловому потоку, поэтому можно считать, что она входит в коэффициент  $K_2$ .

Если удастся в опыте получить зависимость  $\Delta t_{w1} = \Phi(q)$ , то из нее можно тем или иным способом определить все три коэффициента, т. е.  $K_1$ ,  $K_2$  и  $m$ . В этом и заключается существо метода. Изменяя непрерывно тепловой поток и измеряя  $\Delta t_{w1}$ , можно получить искомую зависимость. Все эти рассуждения справедливы при следующих условиях:

- (1) Коэффициенты  $K_1$ ,  $K_2$  и  $m$  — постоянны.
- (2) Тепловой поток на теплоотдающей поверхности равен измеряемому тепловому потоку (нет существенного запаздывания).
- (3) При выбранной скорости нарастания теплового потока будет успевать формироваться пограничный слой, т. е. будет успевать устанавливаться значение  $\Delta t_{w1}$ , как в стационарных условиях.

Как показано многочисленными опытами с различными жидкостями в широком интервале изменения теплового потока, зависимость между  $a$  и  $q$  может быть хорошо аппроксимирована, если коэффициенты принять постоянными.

Были проведены оценки выполнимости условия (2). Если принять, что тепловой поток изменяется во времени линейно:  $q = q_0 + bt$  со скоростью  $b = 5 \cdot 10^4 \text{ ккал / м}^2\text{час}^2$ , то для стальной стенки толщиной 2 мм уже через несколько минут после начала нагрева тепловой поток через поверхность будет отличаться от подаваемого потока на доли процента.

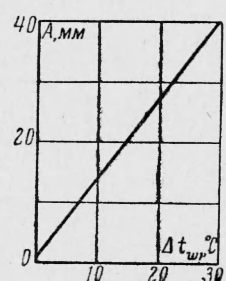
Условие (3) может быть проверено при проведении экспериментов с различными скоростями изменения теплового потока.

2. Экспериментальная проверка метода. Для проверки изложенной методики были проведены эксперименты на двух различных установках. Исследовалось кипение воды в большом объеме на горизонтальной трубке длиной  $l = 300 \text{ мм}$  и диаметром  $D = 26 \text{ мм}$  (и на вертикальной трубке длиной  $l = 110 \text{ мм}$  и диаметром  $D = 15 \text{ мм}$ ).

Принципиальная схема одной из установок приведена на фиг. 2, где 1 — нагревательный стержень, 2 — измерительный бачок, 3 — компенсационный нагреватель, 4 — рабочий объем, 5 — конденсатор, 6 — регулятор напряжения, 7 — ваттметр, 8 — термопара в жидкости, 9, 10, 11 — термопары на трубке, 12 — блок питания, 13 — фотокомпенсационный усилитель, 14 — самописец.

Источником теплового потока в обоих случаях был силиконовый стержень, помещенный на оси трубы. Передача тепла осуществлялась лучеиспусканием. Мощность измерялась ваттметром класса 0.5. Разность температур измерялась дифференциальными термопарами в комплекте с фотокомпенсационным усилителем постоянного тока типа Ф16 с самописцем Н16 или ЭПП-09М. До проведения опыта производилась градуировка шкалы Н16. При этом спай термопары, измеряющей температуру в объеме жидкости, помещался в термостат, температура которого изменялась ступенями, а температура в объеме жидкости поддерживалась постоянной.

В маленькой установке имелась возможность вынуть всю рабочую трубку и поместить ее в другой термостат. Температура в термостатах измерялась ртутными термометрами с ценой деления  $0.1^\circ \text{C}$ , а в случае большой установки — платина-платино-родиевой термопарой в комплекте с потенциометром типа ПМС-48 (на фиг. 3 показан один из градуировочных графиков). Опыты по измерению теплоотдачи проводились следующим образом: установка тщательно промывалась, заполнялась дистиллированной водой и выдерживалась в режиме кипения в течение нескольких часов. Устанавливалась начальная тепловая нагрузка  $q = 50000 \text{ ккал / м}^2\text{час}$  и выдерживалась в течение 2 час. Затем мощность нагревателя повышалась ступеньками величиной не более  $0.01 q_{\max}$  так, чтобы тепловой поток в среднем изменялся линейно во времени со скоростью  $b \approx 5 \cdot 10^4 \text{ ккал / м}^2\text{час}^2$ . Разность температур записывалась на ленте Н16. После достижения максимального теплового потока система некоторое время выдер-



Фиг. 3

живалась в этом состоянии и затем мощность нагревателя плавно снижалась с такой же скоростью. На фиг. 4 приведена одна из записей.

3. Обработка результатов измерений. По градуировочному графику определялась разность температур и строилась зависимость  $\Delta t_{w1} = \varphi(q)$  для каждой термопары (фиг. 5). Из этой зависимости находились коэффициенты  $K_1, K_2$  и  $m$ . Были опробованы три различных способа нахождения этих коэффициентов.

(1) На кривой выбираются три точки и из трех уравнений типа

$$\Delta t_{w1i} = K_1 q_i^m + K_2 q_i \quad (i = 1, 2, 3) \quad (3.1)$$

определяются искомые коэффициенты. Для повышения точности берется набор таких «троек».

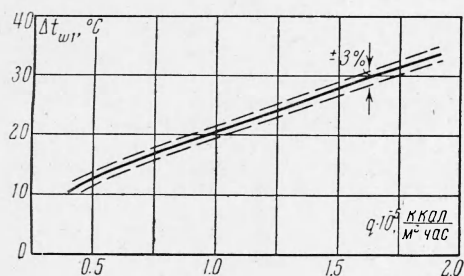
(2) Коэффициенты уравнения определяются методом наименьших квадратов. Для данной функции не удается получить в явном виде выражения для искомых коэффициентов, и они определяются подбором. В частности, уравнение для определения  $m$  имеет вид

$$\frac{\sum x_i^{m+1} \sum x_i^m y_i \ln x_i - \sum x_i y_i \sum x_i^{2m} \ln x_i}{\sum x_i^{2m} \sum x_i y_i - \sum x_i^{m+1} \sum x_i^m y_i} = \\ = \frac{\sum x_i^{m+1} \sum x_i^m \ln x_i - \sum x_i^2 \sum x_i^{2m} \ln x_i}{\sum x_i^{2m} \sum x_i^2 - (\sum x_i^{m+1})^2} \quad (3.2)$$

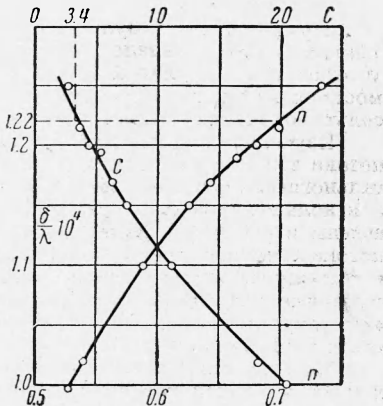
Здесь

$$x_i = q_i \text{ ккал/м}^2\text{час}, \quad y_i = \Delta t_{w1i} \text{ }^\circ\text{C} \quad (i = 1, \dots, 10)$$

Как при обработке первым, так и вторым способом сходимость получалась недостаточно хорошей. Частично это может быть отнесено за счет малого интервала тепловых потоков, охваченных в этих опытах. Кроме того, при использовании метода наименьших квадратов приходится учитывать 8–9 знаков, а логарифмы брались по пятизначным таблицам. Следует отметить еще и большую трудоемкость обоих способов. Тем не менее расчеты дают  $m = 0.32 \div 0.38$ , т. е. близко к тому, что дают другие авторы (следует также учесть, что опыты проводились в начале зоны пузырькового кипения).



Фиг. 5



Фиг. 6

(3) Был применен также графический метод определения коэффициентов. Задавшись некоторым спектром значений  $K_2$  (близких к измеренным величинам  $\delta/\lambda$ ), из опытных данных можно получить (для данного  $K_2$ ) значение рабочей разности температур ( $t_w - t_f$ ) и вычислить коэффициент теплоотдачи  $a$  в зависимости от теплового потока  $q$ . Исходя из (1.1), в логарифмических координатах  $a$  и  $q$  можно построить прямую и определить значения  $C$  и  $n$  (т. е.  $K_1$  и  $m$ ). Таким образом, для различных значений  $K_2$  получаем различные значения  $C$  и  $n$ . На фиг. 6 представлены эти зависимости для одной из серий опытов на установке с вертикальной трубкой.

На графике видно, что опытные данные могут быть описаны многими различными уравнениями с различной комбинацией  $K_1, K_2$  и  $n$ .

Видно также, что наиболее чувствительной к изменению  $K_2$  является величина  $K_1 = 1 / C$ . При изменении  $K_2$  от  $1.22 \cdot 10^{-4}$  до  $1.18 \cdot 10^{-4}$ , т. е. на 3.5%, величина  $C$  изменяется от 3.4 до 5.6, т. е. почти в два раза. Показатель степени  $n$  изменяется при этом от 0.7 до 0.66, т. е. значительно слабее, чем  $C$ .

Таким образом, при  $K_2 = 1.22 \cdot 10^{-4} \text{ м}^2\text{час}^\circ \text{С} / \text{ккал}$  получаем зависимость:

$$\alpha = 3.4 q^{0.7} \quad (3.3)$$

Измеренное до опыта значение  $K_2$  равно

$$K_2 = \frac{\delta}{\Lambda} = (1.20 \pm 0.25) \cdot 10^{-4} \text{ м}^2\text{час}^\circ \text{С} / \text{ккал}$$

Всего было проведено десять серий опытов на малой установке и семнадцать серий на большой. Тепловые потоки изменялись от 10 000 до 205 000  $\text{kкал} / \text{м}^2\text{час}$ .

В первых сериях были сделаны опыты с различными скоростями изменения теплового потока. Обнаружено, что при скоростях до  $8 \cdot 10^4 \text{ ккал} / \text{м}^2\text{час}^2$  кривые на нагрев и охлаждение хорошо совпадают между собой. Кроме того, были проделаны опыты при стационарных условиях. При этом точки по  $\Delta t_{w1}$  совпадали с точками, полученными в нестационарных условиях. Все это подтверждает мысль об очень быстром формировании теплового пограничного слоя.

Различные опыты проводились в разные дни. Различные серии опытов при этом давали несколько отличные кривые, что может быть объяснено некоторым временным изменением условий кипения в районе спая термопары. При этом различие по  $\Delta t_{w1}$  не превышало  $\pm 10\%$  (по различным термопарам).

Поступила 22 II 1962

#### ЛИТЕРАТУРА

1. Кутателадзе С. С. Основы теории теплообмена. Госэнергоиздат, 1958.
2. Веск J. U. Effect of Thermocouple Cavity on Heat Sink Temperature. J. Heat Transfer, 1960, vol. 82, N 1, p. 27—36.

### ИССЛЕДОВАНИЕ ЛОКАЛЬНОГО ТЕПЛООБМЕНА РТУТИ В КОЛЬЦЕВОМ КАНАЛЕ ПРИ СИНУСОИДАЛЬНОЙ ТЕПЛОВОЙ НАГРУЗКЕ

*В. И. Петровичев*

(Москва)

Представлены результаты экспериментального исследования локального теплообмена ртути в канале кольцевого сечения с отношением диаметров  $d_2 / d_1 = 1.67$  и относительной длиной  $l / d^\circ = 110$ . Опытные результаты обработаны в виде зависимости локального безразмерного температурного напора и локального числа Нуссельта от числа Пекле.

Изучению теплообмена при переменном тепловыделении на стенке трубы вдоль потока теплоносителя посвящен ряд работ [1—3]. Некоторые результаты экспериментального исследования теплообмена при турбулентном течении ртути в круглой трубе и в кольцевом канале при синусоидальной тепловой нагрузке по длине канала приведены в работе [4]. В этой работе отмечалось, что переменное тепловыделение вдоль потока теплоносителя может оказывать существенное влияние на локальную теплоотдачу в том случае, когда теплоносителями являются расплавленные металлы, обладающие высокими значениями коэффициентов теплопроводности. Обработка экспериментальных результатов в работе [4] была выполнена, однако, лишь в виде зависимости максимальной безразмерной температуры стенки от числа Пекле.

На основании экспериментальных результатов работы [4] был впоследствии сделан расчет локальной теплоотдачи ртути в кольцевом канале для четырех различных сечений канала, результат которого представлен в предлагаемой статье.

Эксперименты проводились на ртутном циркуляционном контуре в опытном теплообменнике кольцевого сечения внутренним диаметром 8.0 мм, наружным 13.4 мм и длиной 600 мм при одностороннем наружном обогреве [4].

Приводим значения или пределы изменения основных величин в опытах  
Эквивалентный диаметр канала, мм,  $d^\circ = 5.4$

Наружный диаметр канала, мм,  $d_2 = 13.4$

Внутренний диаметр, мм,  $d_1 = 8.0$       Длина участка, мм,  $l = 600$

Отношение диаметров  $d_2 / d_1 = 1.67$       Отношение  $l / d^\circ = 110$

Средняя температура ртути,  $^\circ\text{С}$   $40 \div 50$       Скорость ртути, м / сек  $0.22 \div 1.55$

Подогрев ртути в опытном участке,  $^\circ\text{С}$   $1.5 \div 4.5$

Максимальный тепловой поток,  $\text{kкал} / \text{м}^2\text{час}$   $26 \cdot 10^3 \div 9 \cdot 10^3$

Максимальный температурный напор,  $^\circ\text{С}$   $3.0 \div 1.4$

Число Рейнольдса  $R = (10.7 \div 7.7) \cdot 10^3$       Число Пекле  $RP = 270 \div 1860$